

ФЕДЕРАЛЬНОЕ ГОСУДАРСТВЕННОЕ БЮДЖЕТНОЕ
ОБРАЗОВАТЕЛЬНОЕ
УЧРЕЖДЕНИЕ ВЫСШЕГО ОБРАЗОВАНИЯ
«МОСКОВСКИЙ ГОСУДАРСТВЕННЫЙ УНИВЕРСИТЕТ
имени М.В. ЛОМОНОСОВА»

ФИЗИЧЕСКИЙ ФАКУЛЬТЕТ

КАФЕДРА ФИЗИКИ ЭЛЕМЕНТАРНЫХ ЧАСТИЦ

БАКАЛАВРСКАЯ РАБОТА
«ЯДЕРНЫЕ КОРОТКОДЕЙСТВУЮЩИЕ NN КОРРЕЛЯЦИИ В
РЕАКЦИИ $^{12}\text{C}(p, ppN)^{10}\text{A}$ »

Выполнил студент 409 группы

Уваров А.А.

Уваров

Научный руководитель:

Ведущий научный сотрудник ЛЯП ОИЯИ

Узиков Ю.Н.

Узиков

Допущен к защите

Заведующий кафедрой: _____

Москва

2020

Содержание

1	Введение	2
2	Короткодействующие NN-корреляции в ядрах	4
2.1	Общие свойства КНК	4
2.2	Задачи физики ядер, связанные с КНК	4
2.3	КНК и ЕМС - эффект	6
3	Расчет характеристик реакции $^{12}C(p, 2pN)^{10}A$ при энергии $E = 4$ ГэВ/нуклон	9
3.1	Элементы формализма	9
3.2	Вклад синглетной пары в общее сечение.	13
3.3	Численные результаты.	15
3.3.1	Результаты вычислений для нулевого импульса ядра-остатка.	16
3.3.2	Результаты вычислений для импульса ядра-остатка $p_B = 100$ МэВ/с.	19
4	Выводы	22
5	Заключение	23
Приложение А	Вычисление интеграла $\int d^3q \frac{g^2(q)}{q^2 - k^2 - i\epsilon}$	26

1 Введение

Физика атомного ядра является одним из важнейших направлений современной физики. Основываясь на систематизации и обобщении огромного количества экспериментальных данных, была создана модель оболочек. Данная модель аналогична теории оболочечного строения атома и состоит в том, что нуклоны внутри ядра двигаются независимо, в усредненном поле, создаваемом силовыми взаимодействиями остальных нуклонов. Такая модель позволила объяснить множество свойств атомного ядра, таких как индивидуальные характеристики ядер или некоторые свойства α - и β - распадов. Однако, несмотря на успехи этой модели, она работает лишь в области магических и околomagических ядер, а также не связана с высокоимпульсными компонентами в ядрах. Таким образом, хоть эта модель и является важным этапом в понимании устройства атомного ядра, но она также имеет и свои недостатки.

Важным шагом в понимании структуры атомного ядра стало изучение высокоимпульсных нуклонных компонент ядерных волновых функций. Д.И. Блохинцевым было введено понятие флуктуаций нуклонной плотности в ядрах [1, 2]. В дальнейшем изучение этой физики было представлено в работах А.М. Балдина и сотрудников [3, 4, 5], как исследование кумулятивного эффекта. Позднее было введено понятие о короткодействующих нуклон-нуклонных корреляциях (КНК) в ядрах [6], обозначающее пару нуклонов в ядре с высоким относительным импульсом (выше, чем импульс Ферми $p_F = 250$ МэВ/с) и с центром масс в состоянии, близком к состоянию покоя. КНК пары играют важную роль в структуре атомных ядер [7] и изучаются в многих ядерных центрах с использованием пучков электронов и протонов. Наличие КНК-пар в широком классе ядер от легчайших до тяжелых надежно установлено в специальных экспериментах. Измерены импульсные распределения по относительному импульсу в КНК паре и импульсу центра масс пары. Найдено, что вероятность найти pp- или nn-пару (1S_0) в 20 раз меньше,

чем вероятность найти рп-пару (${}^3S_1 - {}^3D_1$) [8]. Новый шаг в изучении данного явления – изучение реакции ${}^{12}\text{C} + p \rightarrow {}^{10}\text{A} + pp + N$ с пучками ${}^{12}\text{C}$ с энергией 4 ГэВ/нуклон в инверсной кинематике, обеспечивающей взаимодействие водородной мишени с КНК парой в ядре ${}^{12}\text{C}$, с регистрацией остаточного ядра ${}^{10}\text{B}$ (или ${}^{11}\text{Be}$), а также всех трех конечных нуклонов был сделан в ОИЯИ на ВМ@N в [9]. Главным преимуществом инверсной кинематики является то, что ядро-остаток имеет большую энергию и импульс, что дает возможность с большей точностью измерить его энергию возбуждения, а также обеспечивает возможность работать с нестабильными ядрами.

Целями данной работы являются:

1. Освоить формализм расчета характеристик реакции ${}^{12}\text{C} + p \rightarrow {}^{10}\text{A} + pp + N$ в плосковолновом приближении в условиях кинематики эксперимента ВМ@N.
2. Освоить программу численных расчетов, основанную на этом формализме.
3. Учесть вклад 1S_0 -КНК пары этих расчетах. Сравнить его с дейтронным вкладом.

2 Короткодействующие NN-корреляции в ядрах

2.1 Общие свойства КНК

В настоящее время, исходя из совокупности экспериментальных данных и теоретических оценок, была установлена универсальная картина КНК в ядрах. При рассмотрении импульсного распределения в каком-либо ядре или ядерной материи мы можем отчетливо увидеть две области: выше и ниже импульса Ферми (Рис. 1.). Нуклоны с импульсом $p < p_f$ составляют $\approx 80\%$ от всего количества нуклонов в средних и тяжелых ядрах ($A \geq 12$). Такие ядра хорошо описываются моделью среднего поля. Оставшиеся $\approx 20\%$ нуклонов, которые несут в себе высокий относительный импульс ($p > p_f$), принадлежат NN-КНК (при этом количество пр-КНК сильно выше). Помимо этого, о КНК известно три экспериментальных факта:

1. Внутреннее распределение импульса в КНК паре совпадает с распределением по импульсу дейтрона [10].
2. В КНК паре имеет место факторизация волновой функции на волновую функцию относительного движения и волновую функцию движения центра масс.
3. Среди всех КНК пар наблюдается доминирование пр-пар ($\frac{pn}{pp} = 20$), что связано с наличием тензорных сил в пр-парах. [8].

2.2 Задачи физики ядер, связанные с КНК

Короткодействующие NN-корреляции связаны с широким спектром задач ядерной физики, такими как:

1. Проблема NN-взаимодействия на малых (< 0.5 фм) расстояниях между нуклонами в области перекрывания нуклонов, которое необходимо для обеспечения стабильности ядер при наличии глубокого притягивающего потенциала.

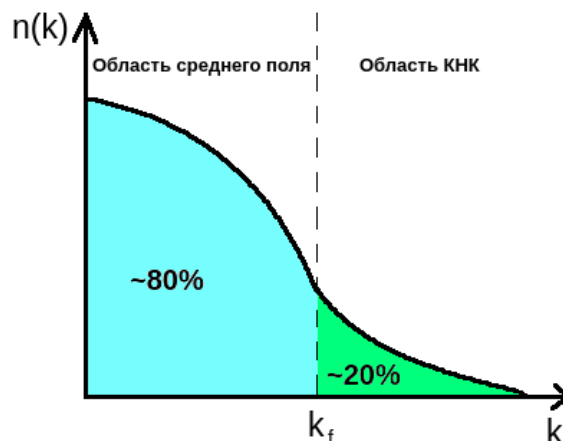


Рис. 1: Качественный рисунок показывающий основные свойства импульсного распределения в ядрах.

2. Выбивание из ядер нуклонных кластеров с большой энергией, связанное с малыми расстояниями между нуклонами в кластере. Начало исследований этого вопроса было положено Д.И.Блохинцевым[1], на основе экспериментов М.Г.Мещерякова[2] в терминах флуктуаций плотности ядерного вещества .
3. Дальнейшее исследование этой физики было представлено в работах А.М.Балдина и сотрудников[3, 4, 5], как исследование кумулятивного эффекта (процессов, кинематически запрещенных на свободном покоящемся нуклоне, но разрешенные либо на компактной группе нуклонов в ядре, либо на одном, но быстро движущемся навстречу пучку, нуклоне).
4. Ядерная материя при плотности выше средней ядерной плотности(нейтронные звезды).
5. ЕМС эффект, заключающийся в том, что структурные функции нуклонов в ядре отличаются от структурных функций свободных нуклонов.

2.3 КНК и ЕМС - эффект

При изучении процессов глубоко-неупругого электрон-протонного рассеяния была открыта динамическая закономерность, позже названная Бьеркеновским скейлингом. Данная закономерность состоит в том, что структурные функции $W_1(\nu, Q^2)$ и $W_2(\nu, Q^2)$, описывающие процесс глубоко-неупругого рассеяния, в общем случае не зависят от Q^2 и ν , а зависят только от их отношения. Данные структурные функции могут быть выражены через партонные структурные функции нуклона $F_2^N(x_B) = \sum_i e_i^2 x f(x)$ (вероятность найти в нуклоне кварк с долей импульса (x_B)), которые являются функцией безразмерной переменной Бьеркена $x_B = \frac{Q^2}{2M_p\nu}$ (где Q^2 - квадрат 4-импульса переданного протону-мишени лептоном в глубоко-неупругом рассеянии, M_p - масса протона, ν - энергия переданная протону лептоном в системе покоя). Значение переменной x_B также может указать нам на тип реакции: при $x_B = 1$ происходит упругое рассеяние e на N , при $x_B \in (0; 1)$ - глубоко-неупругое рассеяние e на N , а при $x_B > 1$ - рассеяние на ядре. Было проведено множество исследований данной зависимости, и для увеличения экспериментальной статистики были также проведены эксперименты на атомных ядрах. Это привело к тому, что в 1983 году ученые Европейской Мюонной Коллаборации неожиданно наблюдали эффект, представляющий собой отличие структурных функций $F_2^N(x_B)$ в ядре от структурных функций для свободных нуклонов (Рис. 2)[11]. Такое различие было названо ЕМС эффектом.

На сегодняшний день нет общепринятой интерпретации ЕМС эффекта. Два основных подхода к его описанию [7]:

1. Все нуклоны в ядре модифицируются, по сравнению со свободным ядром, за счет эффекта связи.
2. Нуклоны являются немодифицированными большее количество времени, но существенно изменены, когда они объединяются в КНК пары.

Возможная связь между EMC эффектом и короткодействующими NN-корреляциями впервые наблюдалась в корреляции между величиной EMC эффекта (определяемой, как величина наклона отношения R структурных функций ядра к структурным функциям дейтрона) на ядре A и вероятностью нахождения нуклона в КНК-паре в этом ядре (Рис. 3)[12]. Связь этих эффектов исследовалась в дальнейших работах[13].

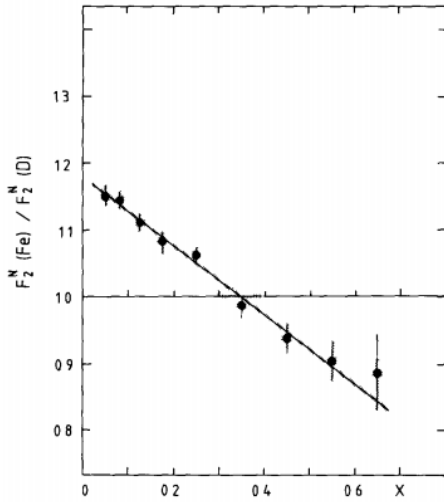


Рис. 2: EMC эффект. Зависимость отношения структурных функций в ядре железа к структурным функциям дейтрона от переменной Бьеркена x_B [11].

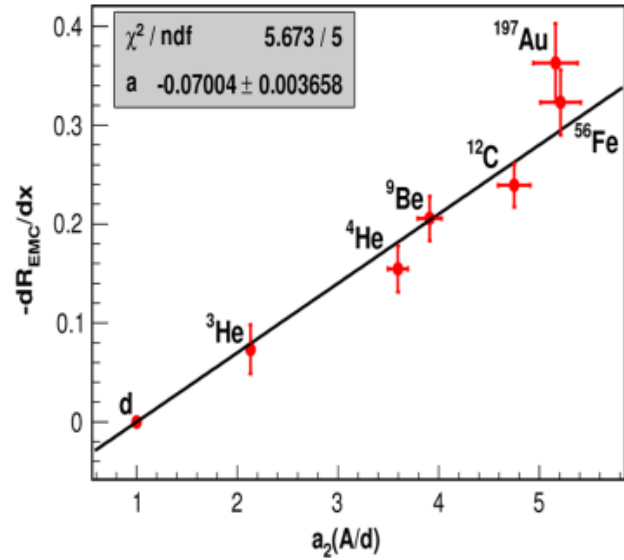


Рис. 3: Производная от функции R (наклон EMC) эффекта для $0.35 < x_B < 0.7$ и КНК масштабный коэффициент (относительная вероятность того, что нуклон принадлежит к КНК-паре) для различных ядер[12] ($R = \frac{F_2^N(Fe)}{F_2^N(D)}$).

Дальнейшее изучение данной связи также показало, что она хорошо описывается универсальной функцией модификацией структуры нуклонов в КНК пр-парах. Такая функция (Рис.4) была получена в работе[14]. Данная универсальная функция модификации может быть использована для определения структурной функции свободного нейтрона, что может послужить для проверки механизмов нарушения зарядовой симметрии в квантовой хромодинамике. Кроме того, эти результаты могут помочь отделить эффекты ядерной физики от предполагаемых эффек-

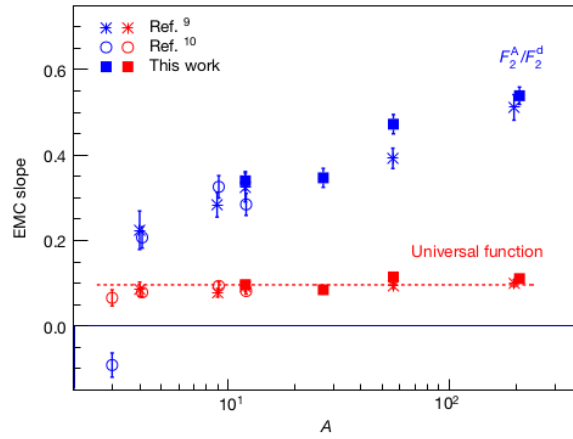


Рис. 4: Наклон EMC эффекта и универсальная функция модификации для различных ядер [14].

тов за пределами стандартной модели в экспериментах с нейтрино.

3 Расчет характеристик реакции $^{12}\text{C}(p, 2pN)^{10}\text{A}$ при энергии $E = 4 \text{ ГэВ/нуклон}$

3.1 Элементы формализма

Рассмотрим реакцию типа $A + p \rightarrow B + p + p + N$. Фейнмановскую диаграмму данной реакции (рис. 2а) можно описать матричным элементом [15],

$$M_{fi} = M(A \rightarrow B + \langle NN \rangle) \frac{1}{p_{\langle NN \rangle}^2 - m_{\langle NN \rangle}^2 + i\varepsilon} M(p \langle NN \rangle \rightarrow pNN), \quad (1)$$

который является произведением трех множителей: $M(A \rightarrow B + \langle NN \rangle)$ - амплитуда виртуального распада ядра А на $\langle NN \rangle$ пару и ядро В в заданных внутренних состояниях и определенном состоянии относительного движения центра масс, пропагатора $\langle NN \rangle$ пары $\frac{1}{p_{\langle NN \rangle}^2 - m_{\langle NN \rangle}^2 + i\varepsilon}$, в котором $p_{\langle NN \rangle}(m_{\langle NN \rangle})$ - 4-импульс (масса) $\langle NN \rangle$ пары, а также $M(p \langle NN \rangle \rightarrow pNN)$ - амплитуды процесса выбивания нуклона из $\langle NN \rangle$ - внешним протоном. Амплитуда реакции $A \rightarrow B + \langle NN \rangle$ может быть представлена в виде:

$$M(A \rightarrow B + x) = -S_A^x (\varepsilon_A^{B+\langle NN \rangle} + p_B^2/2\mu) \Phi_{\nu\Lambda M_\Lambda}(k_{cm}^{\vec{}}) \sqrt{2m_A 2m_B 2m_{\langle NN \rangle}}, \quad (2)$$

где $S_A^x = \binom{A}{2}^{1/2} \langle \psi_A | \psi_B \Phi_{\nu\Lambda}(\vec{R}_{A-x} - \vec{R}_x) \psi_x \rangle$ - спектроскопический фактор кластера x в ядре А.

Используя трансляционно-инвариантную модель оболочек (ТИМО) [16] с промежуточной связью для ядерных волновых функций ψ_A, ψ_B, ψ_x , мы можем получить матричный элемент

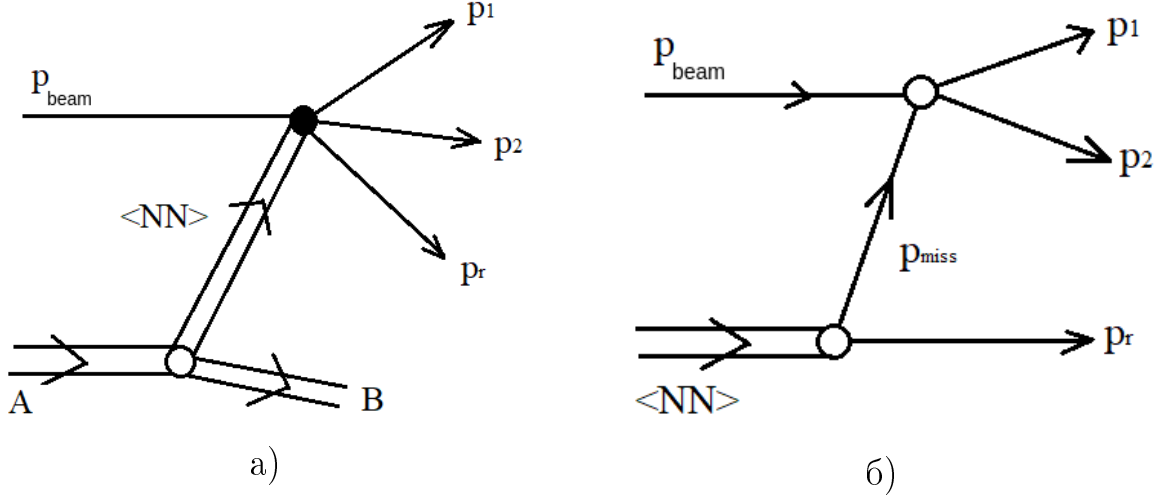


Рис. 5: Полюсные механизмы реакций $A + p \rightarrow p + p + N + B$ (а) и $\langle NN \rangle + p \rightarrow p + N + N$ (б).

$$\begin{aligned}
M_{fi}(pA \rightarrow ppNB) &= \binom{A}{2}^{1/2} \sum_{M_{J_x}, \bar{J}, \bar{M}, M_\Lambda} \sum_{\alpha_i, \alpha_f, N, \Lambda, L_0} \alpha_i^{AJ_i T_i} \alpha_f^{A-2J_f T_f} \\
&\langle A\alpha_i | A - 2\alpha_f, N\Lambda; x \rangle (\Lambda M_\Lambda J_x M_x | \bar{J} \bar{M}) (J_f M_f | \bar{J} \bar{M}) \\
&(T_f M_{T_f} T_x M_{T_x} | T_i M_{T_i}) U(\Lambda L_x \bar{J} S_x; L_0 J_x) \begin{Bmatrix} L_f & S_f & J_f \\ L_0 & S_x & J \\ L_i & S_i & J_i \end{Bmatrix} \quad (3) \\
&((2L_i + 1)(2S_i + 1)(2J_f + 1)(2\bar{J} + 1))^{1/2} \Phi_{N\Lambda M_\Lambda}(k_{cm}) \\
&\langle \vec{p}_1 \sigma_1, \vec{p}_2 \sigma_2, \vec{p}_r \sigma_r | \hat{M}(p \langle NN \rangle \rightarrow p_1 p_2 p_r) | \vec{p} \sigma_p, -\vec{p}_B M_x \rangle,
\end{aligned}$$

в котором использованы стандартные обозначения для коэффициентов Клебша-Гордана, коэффициентов Рака и 9-j символов вращения; $\langle A\alpha_i | A - 2\alpha_f, N\Lambda; x \rangle$ - генеалогические коэффициенты ТИМО; $\alpha_i^{AJ_i T_i}$ и $\alpha_f^{A-2J_f T_f}$ - коэффициенты промежуточной связи начального и конечного ядер; L_j, S_j, J_j, T_j - орбитальный момент, спин, полный угловой момент и изоспин ядра ($\langle NN \rangle$ -кластера) j ($j = i$ - ядро А; $j = f$ - ядро В, $j = x$ - кластер x). Нормировка волновой функции $\Phi_{N\Lambda M_\Lambda}(\vec{k}_B)$: $\int |\Phi_{N\Lambda M_\Lambda}(\vec{k})|^2 \frac{d^3 k}{(2\pi)^3} = 1$.

Матричный элемент $M(p \langle NN \rangle \rightarrow pNN)$ можно вычислить из

соответствующей фейнмановской диаграммы (Рис. 2б).

При больших значениях импульса нуклона-отдачи $p_r = p_{rel}$ важен учет релятивистских эффектов. Для их учета мы рассматриваем диаграмму реакции (Рис. 2б), в старой теории возмущения (упорядоченной по времени), в которой, наряду с вершиной виртуального распада d на NN пару, есть вершина распада $\bar{N} + d \rightarrow N$. Эта вершина представляет проблему для теории. Переход в систему бесконечного импульса NN -пары позволяет подавить этот вклад. Данный подход называется динамикой светового фронта в бесспиновом приближении. Тогда, нужный нам матричный элемент выражается как [17],

$$M_{fi}(p < NN > \rightarrow pNN) = \frac{\psi_d^{LFD}(\vec{k}_\perp, \xi)}{1 - \xi} M_{fi}(pN \rightarrow pN), \quad (4)$$

где ξ и \vec{k}_\perp - внутренние переменные светового фронта процесса $< NN > \rightarrow p_r + p_N$, которые связаны с одночастичными переменными (Рис. 6), как

$$\xi = \frac{p_r^+}{p_r^+ + p_N^+}, \quad (5)$$

$$\vec{k}_\perp = \xi p_{r\perp} - (1 - \xi) p_{N\perp}, \quad (6)$$

где \vec{p}_\perp и $p^+ = p_3 - p_0$ - кинематические компоненты 4-импульса при квантовании на плоскости $x^+ = ct + z$ [17]. Физический смысл внутренней переменной ξ - доля 3-импульса дейтрона, уносимая выбиваемым нуклоном в системе бесконечного импульса дейтрона (NN -пары).

Для учета короткодействующих корреляций квазидейтронной нуклонной пары мы должны заменить оболочечную функцию кластера $< NN >$ на реалистическую волновую функцию дейтрона. В данном случае релятивистская функция дейтрона связана с нерелятивистской соотношением следующим образом:

$$\psi_d^{LFD}(\vec{q}) = \sqrt{\varepsilon(\vec{q})} \varphi_d^{nr}(\vec{q}), \quad (7)$$

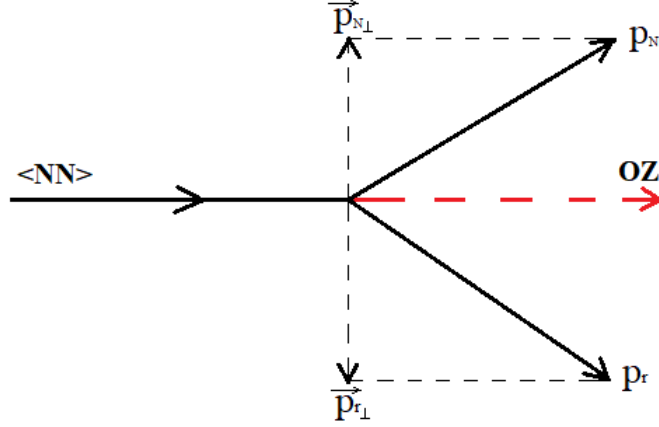


Рис. 6: Кинематика процесса виртуального распада $\langle NN \rangle \rightarrow p_r + p_N$.

где $\varepsilon(\vec{q}) = \sqrt{m_N^2 + \vec{q}^2}$. Нормировка волновой функции $\varphi_d^{nr}(\vec{q})$:

$$\int |\varphi_d^{nr}(\vec{q})|^2 \frac{d^3q}{(2\pi)^3} = 1. \quad (8)$$

Полученные выше матричные элементы можно связать с инвариантными сечениями реакции $a + b \rightarrow 1 + 2 + 3 + 4$ следующим образом [18]:

$$d\sigma = (2\pi)^4 \delta^{(4)}(P_i - P_f) \frac{1}{4I} |M_{fi}|^2 \prod_{j=1}^n \frac{d^3p_j}{2E_j (2\pi)^3}. \quad (9)$$

Здесь $I = \sqrt{(p_a p_b)^2 - m_a^2 m_b^2}$ - потоковый фактор, $p_j(m_j)$ - 4-импульс частицы. Тогда инвариантное сечение данной реакции:

$$d\sigma = (2\pi)^{-8} \frac{1}{4I} |M_{fi}|^2 \frac{d^3P_1}{2E_1} \frac{d^3P_2}{2E_2} \frac{q_{Br}}{4\sqrt{s_{Br}}} d\Omega_{\vec{q}_{Br}}, \quad (10)$$

где \vec{q}_{Br} - относительный импульс пары нуклонов p_B и p_r , p_1 - импульс рассеянного нуклона, p_2 - импульс выбитого нуклона, $s_{Br} = (p_B + p_r)^2$ - квадрат инвариантной массы. Элемент телесного угла можно выразить, как:

$$d\Omega_{\vec{q}_{Br}} = \frac{4\sqrt{s_{Br}}}{|\vec{q}_{Br}|} \sum_{\pm} \frac{|P_\alpha|^3}{4|R_0(\vec{P}_\alpha^{(\pm)})^2 - E_\alpha^{(\pm)} \vec{R} \vec{P}_\alpha^{(\pm)}|} d\Omega_{\vec{q}_\alpha}, \quad (11)$$

где $R = (R_0, \vec{R})$ ($R_0 = E_{beam} + E_A - E_1 - E_2$, $\vec{R} = \vec{P}_{beam} + \vec{P}_A - \vec{P}_1 - \vec{P}_2$), суммирование идет по решениям уравнения $E_0 - E_r - E_B = 0$ при условии $\vec{R} = \vec{p}_r + \vec{P}_B$, а за α (полный 4-импульс пары частиц в конечном состоянии) можно брать как B , так и r .

Все перечисленное ранее приводит нас к величине

$$f = \frac{d^8\sigma}{dP_1 d\Omega_1 dP_2 d\Omega_2 d\Omega_r} \frac{2E_1}{P_1^2} \frac{2E_2}{P_2^2} = \frac{1}{(2\pi)^8} \frac{1}{4I} |M_{fi}|^2 \frac{|P_r|^3}{4|R_0(\vec{P}_r)^2 - E_r \vec{R} \vec{P}_r|}, \quad (12)$$

численные расчеты которой, полученные далее в данной работе, используются для анализа реакции $^{12}C + p \rightarrow ^{10}A + pp + N$.

3.2 Вклад синглетной пары в общее сечение.

Рассмотрим различные каналы исследуемой нами реакции:

1. $^{12}C + p \rightarrow ^{10}B + p + p + n$ (np-КНК);
2. $^{12}C + p \rightarrow ^{10}Be + p + p + p$ (pp-КНК).

В первом случае мы рассматриваем триплетную $\{pn\}_t(^3S_1 + ^3D_1)$ пару с $S = 1$ и $T = 0$. В данном случае в качестве волновой функции np-пары может быть использована волновая функция дейтрона (т.к. в КНК паре распределение волновой функции совпадает с распределением волновой функцией дейтрона[10]).

Теперь рассмотрим 2 канал реакции. В данном случае мы рассматриваем синглетную $\{pn\}_s(^1S_0)$ пару с $S = 0$ и $T = 1$. Расчет импульсного распределения в 1S_0 паре был представлен в работе[19]. При рассмотрении данного канала реакции перед нами сразу же возникает проблема: для pp-пары(1S_0) нет связанных состояний, в отличие от $^3S_1 - ^3D_1$ состояния, которое описывается, как дейтрон. Однако, для данного состояния существует виртуальный уровень, представляющий из себя полюс матрицы рассеяния на нефизическом листе комплексной плоскости. Для определенности далее будем рассматривать переход на ядро ^{10}B , то есть

исследовать $\{pn\}_s$ -пару. Амплитуда pn -рассеяния на половину вне массовой поверхности $A(\{pn\}_s \rightarrow p+n) = \langle \vec{q} | \hat{T}(^1S_0) | \vec{k} \rangle$ задается матричным элементом, а тогда соответствующую ей волновую функцию для рассеяния можно получить в виде:

$$\psi_k^{(-)}(\vec{q}) = \frac{\langle \vec{q} | \hat{T}(^1S_0) | \vec{k} \rangle}{\varepsilon_s + \vec{q}^2/2\mu}, \quad (13)$$

где $\mu = \frac{m}{2}$ – приведенная масса.

Таким образом, мы получим волновую функцию рассеяния, как решение уравнения Шредингера с синглетным потенциалом для несвязанного $\{pn\}_s$ -состояния. Однако, волновая функция 1S_0 - $\{pn\}_s$ -пары в ядре обязательно должна находиться в связанном состоянии и убывать на бесконечности, а полученная нами волновая функция рассеяния не обладает такими свойствами даже в точке полюса. Поэтому, мы можем взять $\{pn\}_s$ -волновую функцию при нулевой энергии и утверждать, что она является хорошим приближением волновой функции связанного (за счет потенциала эффективного взаимодействия, учитывающего влияние других нуклонов ядра) 1S_0 -состояния. Основанием для этого приближения является хорошо работающее аналитическое продолжение в точку полюса для 3S_1 -пары, которое показывает, что функция рассеяния при низкой положительной энергии и функция связанного состояния (для одного и того же NN потенциала) очень близки [20]:

$$\lim_{k \rightarrow i\alpha} \left\{ -\sqrt{\frac{\alpha(k^2 + \alpha^2)}{2\pi}} e^{i\delta} \psi_k^{(-)}(r) \right\} = \psi_{bs}(r), \quad (14)$$

Из предыдущей формулы можно получить перенормировочный множитель $\psi_k^{(-)}(r) \rightarrow \psi_{bs}(r) : \sqrt{\frac{\alpha(k^2 + \alpha^2)}{2\pi}} e^{i\delta(^1S_0)}$. Далее, полученную функцию приближения волновой функции 1S_0 – связанного состояния в импульсном представлении нужно нормировать на единицу, аналогично нормировке волновой функции дейтрона: $\int |\psi(q)|^2 \frac{d^3q}{(2\pi)^3} = 1$.

Амплитуда pn -рассеяния $f(q; k) = -\frac{\mu}{2\pi\hbar^2} \langle \vec{q} | \hat{T} | \vec{k} \rangle$ с CD Bonn NN по-

тенциалом может быть представлена, как [21]:

$$f(p, p'; k) = \frac{2\pi^2 M_N g(p)g(p')}{1 - M_N \int d^3q \frac{g^2(q)}{q^2 - k^2 - i\varepsilon}}, \quad (15)$$

где $g(p) = \sum_i \frac{c_i}{p^2 + \beta_i^2}$ - формфакторы для 1S_0 ; c_i и β_i - параметры для сепарабельного представления CD Bonn потенциала. Расчет интеграла входящего в амплитуду рассеяния представлен в Приложении А.

Исходя из приведенных рассуждений, можно выразить волновую функцию для связанного $\{pn\}_s$ - состояния:

$$\varphi_{bs}^{1s_0}(q) = \sqrt{N} \frac{\alpha(k^2 + \alpha^2)}{2\pi} \frac{\pi \hbar^2}{m_N \varepsilon_s + q^2/2\mu} f(p, p'; k), \quad (16)$$

где N - множитель, полученный из нормировки $\int |\psi(q)|^2 \frac{d^3q}{(2\pi)^3} = 1$. Важно отметить, что рассмотренный формализм для $\{pn\}_s(^1S_0)$ так же может быть применен для pp и nn синглетных пар.

3.3 Численные результаты.

В настоящее время, коллаборацией VM@N получены результаты эксперимента по исследованию КНК, данные которого в данный момент находятся в стадии анализа. Подходом к исследованию является использование инверсной кинематики в реакции квази-свободного выбивания протона из водородной мишени, используя пучок ядер ^{12}C с энергией 4 ГэВ/нуклон.

Численные оценки, выполненные в данной работе, проведены для реакции $^{12}\text{C} + p \rightarrow ^{10}\text{A} + pp + N$ в системе покоя ядра ^{12}C , с образованием ядра-остатка ^{10}B , при энергии протонного пучка 4 ГэВ/нуклон. Рассмотрены переходы на 7 низших возбужденных состояний ядра-остатка с полным угловым моментом J_f и изоспином T_f (Табл.1). Реакция, подобная этой ($pd \rightarrow (pp)N$), рассматривалась ранее[22].

№	E_B (МэВ)	T_f	J_f	Λ
1	0	0	3	2
2	0.717	0	1	0,2
3	2.15	0	1	0,2
4	3.58	0	2	2
5	5.92	0	2	2
6	1.74	1	0	0
7	5.17	1	2	2

Табл.1: Нижняя часть спектров уровней ядра ^{10}B .

Для вычисления исследуемой функции распределения f (12) необходимо взять квадрат волновой функции $\psi_{\nu\Lambda M_\Lambda}(\vec{p}_B)$. Соответствующая ей радиальная часть $R_{\nu\Lambda}(\frac{p_B}{p_0})$ определяется, как :

$$R_{20} = C\sqrt{\frac{3}{2}}(1 - \frac{2}{3}x^2)\exp(-\frac{x^2}{2}); R_{22} = C\frac{4}{15}x^2\exp(-\frac{x^2}{2}), \quad (17)$$

где $C = \sqrt{\frac{4}{\sqrt{\pi}p_0^3}}$, а $x = \frac{p_B}{p_0}$ (p_0 - осцилляторный параметр). Таким образом, при значениях импульса ядра-остатка близким к нулю, волновая функция с $\Lambda = 2$ тоже стремится к нулю. Следовательно, значительно большее сечение взаимодействия при малом импульсе ядра-остатка p_B соответствует переходам на уровни ядра В с энергией $E^* = 0.717, 2.15$ и 1.74 МэВ, имеющих значение орбитального момента относительного движения центра масс пары $\Lambda = 0$. При повышении импульса p_B поднимается вклад уровней с $\Lambda = 2$, а вклад уровней с $\Lambda = 0$ уменьшается.

3.3.1 Результаты вычислений для нулевого импульса ядра-остатка.

Исходя из всех вышеперечисленных фактов следует, что для энергии $E_B \approx 0$ подавляются переходы на уровни ядра остатка с $\Lambda = 2$. На (Рис. 7) приведены результаты расчетов сечения для переходов на уровни с $\Lambda = 0$ и $T_f = 0$, в зависимости от импульса p_{miss} , для CD Bonn потенциала NN взаимодействия. Углы вылета нуклона-спектатора, ядра-остатка

и рассеянного нуклона, соответственно равны $\theta_r = 10^\circ, \varphi_r = 0, \theta_B = 180^\circ, \varphi_B = 180^\circ, \theta_1 = 17^\circ, \varphi_1 = 0$. Для расчета характеристик реакции данной пары ($\{pn\}_t(^3S_1 - ^3D_1)$ с $T_f=0$) использовалась волновая функция дейтрона. На (Рис. 9) показаны вклады s- и d-волновой части в волновую функцию дейтрона нормированную на максимум дифференциального сечения реакции. Вклады всех основных величин, входящих в сечение, таких как квадрат волновой функции, фазовый объем и дифференциальное сечение pp-рассеяния показаны на (Рис. 8).

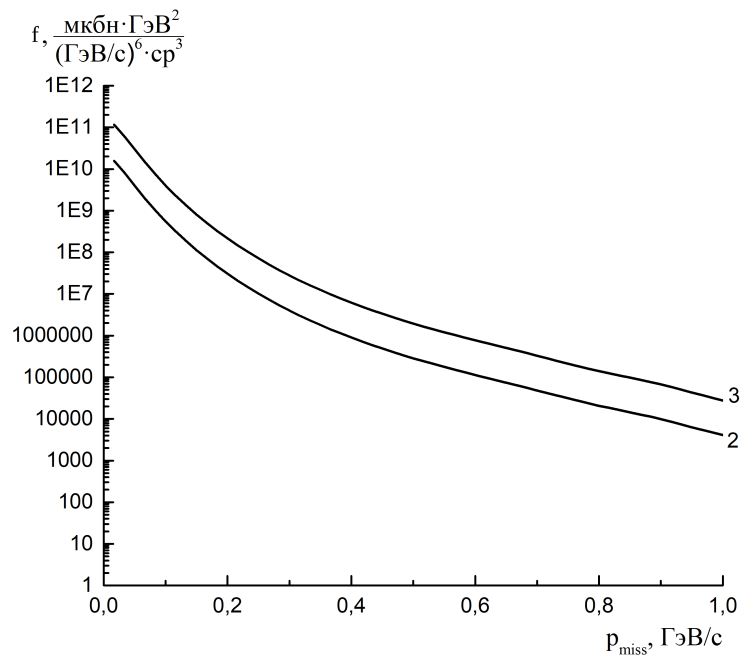


Рис. 7: Функция распределения f для переходов на 2 и 3 уровни энергии ядра остатка с $\Lambda = 0, 2$ в зависимости от импульса p_{miss} .

Основной задачей данной работы являлось определение синглетного ($\{pn\}_s(^1S_0)$ с $S = 0, T_f = 1$) вклада в сечение реакции. На (Рис. 10) приведен график, соответствующий переходу на уровень с энергией $E^* = 1.74$ МэВ и $T_f = 1$. Для расчетов использовались те же входные параметры, что и на (Рис. 7). Данная кривая имеет узел в точке $q_{miss} \sim 0.4$ ГэВ/с, что связано с отталкиванием нуклона в синглетном NN-потенциале на расстояниях $r_{NN} \sim 0.5$ фм. Для сравнения на рисун-

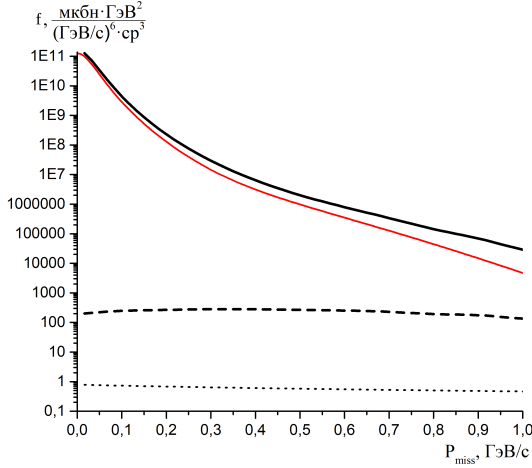


Рис. 8: Вклады квадрата модуля волновой функции нормированной на максимум сечения (красная линия), фазового объема (пунктирная) и сечения рассеяния (штриховая) в функцию распределения f (черная).

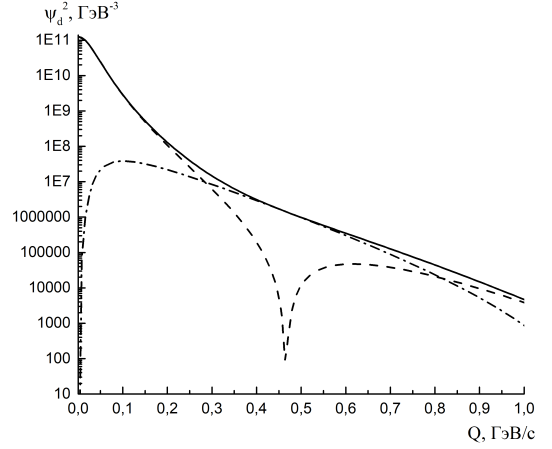


Рис. 9: Вклад s- (штриховая линия) и d- (штрих-пунктирная) в волновую функцию дейтрона.

ке также представлен график суммарного вклада $\{pn\}_t$ -пары (${}^3S_1 - {}^3D_1$) при переходе на уровни ядра-остатка с $E_B = 0.717, 2.15$ МэВ.

Отношение вклада $\{pn\}_s$ -КНК пары к вкладу pn_t -КНК-пары $\frac{\{pn\}_s({}^1S_0)}{\{pn\}_t({}^3S_1 - {}^3D_1)} \approx 10^{-2}$, и зависит от интервала p_{miss} , что видно из (Рис. 10). Таким образом, полученные результаты для синглетного вклада не противоречат экспериментальным данным ($\frac{pn({}^1S_0)}{pp({}^3S_1 - {}^3D_1)} \approx \frac{1}{20} = 0.05$) [8]. Расхождения обусловлены тем, что в расчетах не учтены все переходы на уровни ядра-остатка, а также взаимодействия в начальном и конечном состояниях.

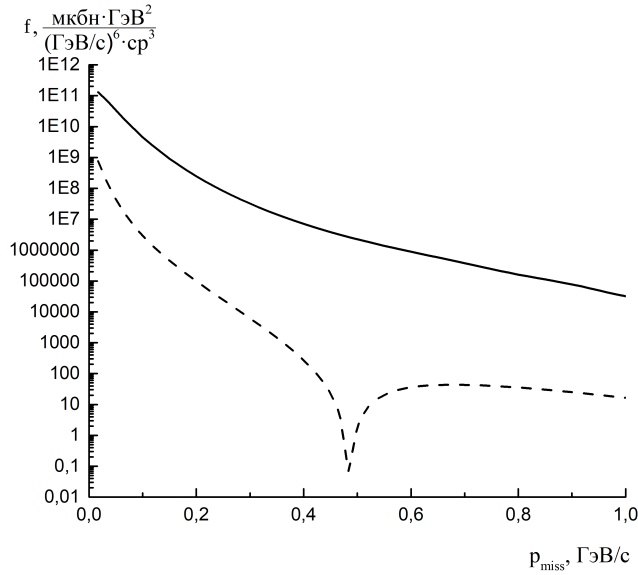


Рис. 10: Вклад короткодействующей $\{pn\}_s$ пары при переходе на уровень 6 с $T_f = 1$ (штриховая линия) и суммарный вклад $\{pn\}_t$ пары при переходе на уровни 2 и 3 ядра-остатка с $T_f = 0$ (сплошная линия) в функцию распределения f для реакции с импульсом ядра остатка $p_B \approx 0$ МэВ/с.

3.3.2 Результаты вычислений для импульса ядра-остатка $p_B = 100$ МэВ/с.

Рассмотрим другую область кинематики. При увеличении импульса ядра-остатка E_B поднимается вклад уровней с $\Lambda = 2$, а вклад уровней с $\Lambda = 0$ уменьшается. При достижении энергии $E_B = 100$ МэВ значительно подавляются уровни с $\Lambda = 0$. На (Рис. 11) приведены результаты расчетов сечения для переходов на уровни с $\Lambda = 2$ и $T_f = 0$ в зависимости от импульса p_{miss} для CD Bonn потенциала NN взаимодействия. Углы вылета нуклона-спектатора, ядра-остатка и рассеянного нуклона, соответственно равны $\theta_r = 10^\circ$, $\varphi_r = 0$, $\theta_B = 30^\circ$, $\varphi_B = 0$, $\theta_1 = 20^\circ$, $\varphi_1 = 0$. Расчеты характеристик в данной области аналогичны расчету характеристик для (Рис. 7).

Вклад 1S_0 - дипротона в общее сечение также был рассчитан для данной области кинематики. На (Рис. 12) приведен график, соответствующий переходу на уровень с энергией $E^* = 5.17$ МэВ и $T_f = 1$, а

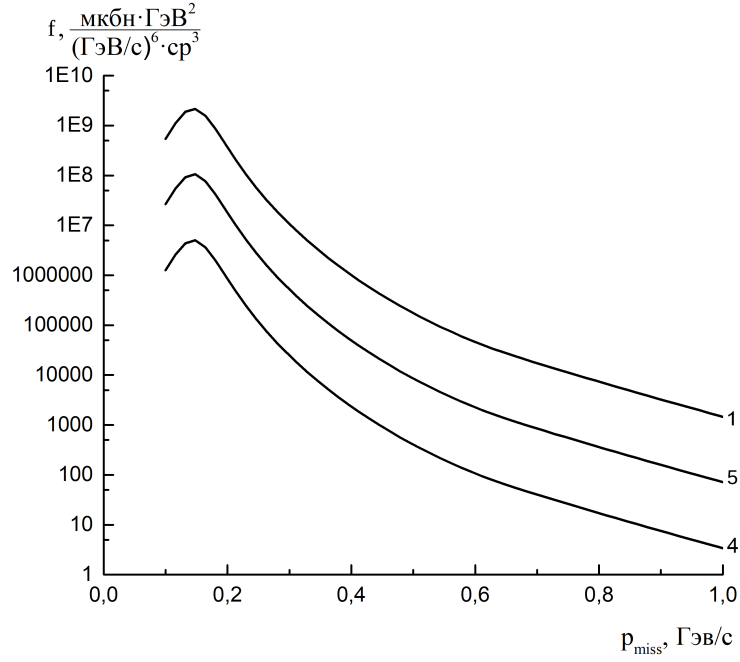


Рис. 11: Функция распределения f реакции для переходов на 1, 4 и 5 уровни энергии ядра-остатка с $\Lambda = 2$ в зависимости от импульса p_{miss} .

также отображен суммарный вклад $\{pn\}_t$ -пары при переходе на уровни ядра-остатка с $E_B = 0, 3.58, 5.92$ МэВ. Отношение вклада $\{pn\}_s$ -КНК пары к вкладу $\{pn\}_t$ -КНК-пары $\frac{\{pn\}_s(^1S_0)}{\{pn\}_t(^3S_1-^3D_1)} \approx 10^{-2}$, и зависит от интервала p_{miss} , что видно из (Рис. 12). Таким образом, полученные результаты для синглетного вклада не противоречат экспериментальным данным ($\frac{pn(^1S_0)}{pp(^3S_1-^3D_1)} \approx \frac{1}{20} = 0.05$)[8]. Расхождения полученных результатов с экспериментальными данными для синглетной NN-пары в этой области обусловлены тем, что в расчетах не учтены все переходы на уровни ядра-остатка, а также взаимодействия в начальном и конечном состояниях.

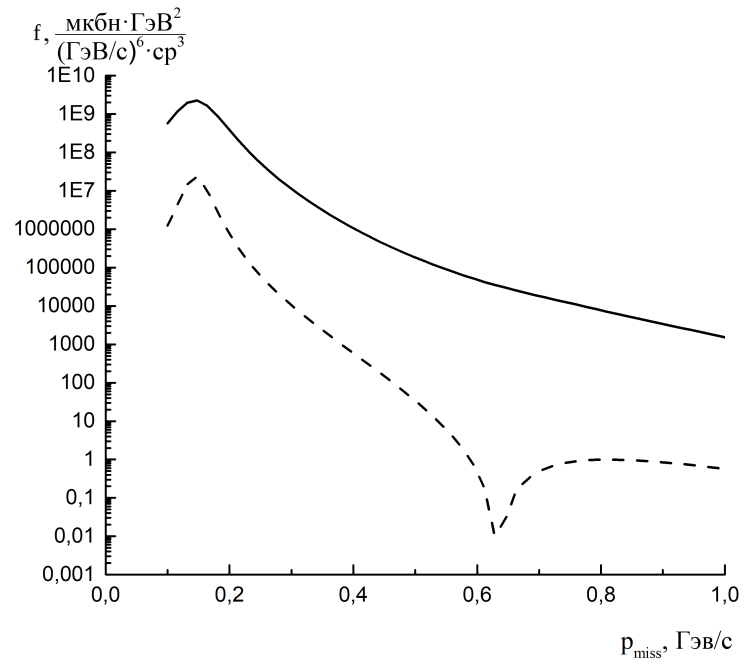


Рис. 12: Вклад короткодействующей $\{pn\}_s$ пары при переходе на уровень 7 с $T_f = 1$ (штриховая линия) и суммарный вклад $\{pn\}_t$ пары при переходе на уровни 1, 4 и 5 ядра-остатка с $T_f = 0$ (сплошная линия) в функцию распределения f для реакции с импульсом ядра остатка $p_B \approx 100$ МэВ/с.

4 Выводы

1. В рамках данной работы был освоен формализм расчета характеристики реакций $p + {}^{12}\text{C} \rightarrow {}^{10}\text{A} + p + N + N$ в условиях кинематики эксперимента VM@N.
2. Для выполнения численного анализа исследуемой реакции была освоена и модифицирована (для учета вклада 1S_0) программа для расчета её характеристик.
3. Произведен численный расчет вклада 1S_0 и $({}^3S_1 - {}^3D_1)$ КНК-пар в распределения по импульсу p_{miss} в кинематических областях с $p_B = 0$ и $p_B = 100$ МэВ/с.
4. Результат сравнения вкладов 1S_0 и $({}^3S_1 - {}^3D_1)$ КНК-пар не противоречит полученным ранее экспериментальным данным ($\frac{pn({}^3S_1 - {}^3D_1)}{pp({}^1S_0)} = 20$)[8].

5 Заключение

В данной работе в рамках плосковолнового импульсного приближения проведен расчет характеристик реакции $p + {}^{12}\text{C} \rightarrow {}^{10}\text{A} + p + N + N$ в кинематике эксперимента VM@N. Для расчета структурных факторов и импульсных распределений NN- кластеров использована трансляционно-инвариантная модель оболочек, использовавшаяся ранее для описания реакций квазиупругого выбивания быстрых дейтронов из легких ядер протонами. Учет короткодействующих NN- корреляций проводится путем замены оболочечной волновой функции внутреннего движения в NN-кластере на реалистическую волновую функцию дейтрона для спина пары $S=1$ и на волновую функцию синглетного дейтрона или (1S_0 -дипротона) для $S=0$. Вычислен относительный вклад синглетных и триплетных NN пар для переходов на нижние возбужденные состояния остаточных ядер ${}^{10}\text{B}({}^{11}\text{Be})$.

Список литературы

- [1] Д.И. Блохинцев, ЖЭТФ, Т.33. (1957) 1295
- [2] Л.С. Ажгирей и др., ЖЭТФ, Т.33. (1957) 1185
- [3] А.М. Балдин, Сообщение ОИЯИ Р1-5819, Дубна (1971);
А.М. Балдин, Краткие сообщения по физике, Т.18 (1971) 465
- [4] А.М. Балдин, ЭЧАЯ, Т.8 (1977) 429;
А.М. Балдин, ЯФ, Т.20 (1974) 1201
- [5] В.С. Ставинский, ЭЧАЯ, Т.13 (1982) 613
- [6] М.И. Стрикман, Л.Л. Франкфурт, Письма в ЖЭТФ, Т.30 (1979) 373
- [7] O. Hen, G.A. Miller, E. Piassetzky, L.B. Weinstein, Rev. Mod. Phys., 89 (2017) 45002
- [8] M. Duer, A. Schmidt, J.R. Pybus et al., Phys. Rev. Lett., 122 (2019) 172502
- [9] SRC@BMN proposal: <http://bmnshift.jinr.ru/wiki/doku.php>
- [10] O. Cohen et al., Phys. Rev. Lett., 121 (2018) 092501
- [11] J.J. Aubert et al., Phys. Lett. B, 123 (1983) 275
- [12] O. Hen, D.W. Higinbotham, G. A. Miller, E. Piassetzky, L. B. Weinstein, Int. J. Mod. Phys. E, 22 (2013) 1330017
- [13] M. Patsyuk, O. Hen, E. Piassetzky, EPJ Web of Conferences, 204 (2019) 01016
- [14] B. Schmookler et al., Nature, 566 (2019) 354
- [15] Ю.Н. Узиков, Известия РАН. Серия физическая., Т.84 (2020) 580

- [16] М.А. Жусупов, Ю.Н. Узиков, ЭЧАЯ, Т.18 (1987) 323
- [17] Ю.Н. Узиков, ЯФ, Т. 55, № 9 (1992) 2374
- [18] Ю.Н. Узиков, Избранные главы квантовой теории столкновений :
Учебное пособие. Москва: КДУ, Университетская книга (2017)
- [19] R. Weiss, I. Korover , E. Piasetzky, O. Hen, N. Barnea, Phys. Lett. B,
791 (2019) 242
- [20] G. Fäldt, C. Wilkin, Phys. Lett. B, 382 (1996) 209
- [21] V. Lensky et al., Eur. Phys. J. A, 26 (2005) 107
- [22] J. Haidenbauer, Yu.N. Uzikov, Phys. Lett. B, 562 (2003) 227

А Вычисление интеграла $\int d^3q \frac{g^2(q)}{q^2 - k^2 - i\varepsilon}$

Формфактор для 1S_0 :

$$g(p) = \sum_i \frac{c_i}{p^2 + \beta_i^2} \quad (18)$$

Тогда:

$$I = \{d^3q = q^2 dq d\Omega\} = 4\pi \int_0^\infty \frac{q^2 dq}{q^2 - k^2 - i\varepsilon} \sum_i \frac{c_i}{q^2 + \beta_i^2} \quad (19)$$

1) Интеграл от члена с $i \neq j$:

$$\begin{aligned} I_1 &= \lim_{\varepsilon \rightarrow 0} \int_0^\infty \frac{q^2 dq}{(q^2 + \beta_i^2)(q^2 + \beta_j^2)(q^2 - k^2 - i\varepsilon)} = \\ &= \frac{1}{2} \int_{-\infty}^\infty \frac{q^2 dq}{(q^2 + \beta_i^2)(q^2 + \beta_j^2)(q^2 - k^2 - i\varepsilon)} \end{aligned} \quad (20)$$

Полюсы 1-го порядка ($Rez[f(z) = \frac{\varphi(z)}{\psi(z)}, z_k] = \frac{\varphi(z_0)}{\psi'(z_0)}$): $q_{1,2} = \pm(k + i\varepsilon)$, $q_{3,4} = \pm i\beta_i$, $q_{3,4} = \pm i\beta_j$. Значит,

$$\begin{aligned} I_1 &= 2\pi i \sum_{k=1} Res[f(z), z_k] = 2\pi i \frac{1}{2} \int_{-\infty}^\infty \left(\frac{(i\beta_i)^2}{2i\beta_i(-\beta_i^2 + \beta_j^2)((i\beta_i)^2 - k^2 - i\varepsilon)} + \right. \\ &+ \left. \frac{(i\beta_j)^2}{2i\beta_j(-\beta_j^2 + \beta_i^2)((i\beta_j)^2 - k^2 - i\varepsilon)} + \frac{(k + i\varepsilon)^2}{2(k + i\varepsilon)(k^2 + \beta_i^2)(k^2 + \beta_j^2)} \right) = \\ &= \frac{\pi}{2} \left\{ \frac{\beta_i^2}{(\beta_j^2 - \beta_i^2)(\beta_i^2 + k^2)} + \frac{\beta_j^2}{(\beta_i^2 - \beta_j^2)(\beta_j^2 + k^2)} + \frac{ki}{(\beta_j^2 + k^2)(\beta_i^2 + k^2)} \right\} \end{aligned} \quad (21)$$

2) Интеграл от члена с $i = j$:

$$I_2 = \lim_{\varepsilon \rightarrow 0} \frac{1}{2} \int_{-\infty}^\infty \frac{q^2 dq}{(q^2 + \beta_j^2)^2 (q^2 - k^2 - i\varepsilon)} \quad (22)$$

Полюсы 1-го порядка ($Rez[f(z) = \frac{\varphi(z)}{\psi(z)}, z_k] = \frac{\varphi(z_0)}{\psi'(z_0)}$): $q_{1,2} = \pm(k + i\varepsilon)$.

Полюсы 2-го порядка ($Rez[f(z), z_0] = \frac{1}{(2-1)!} \lim_{z \rightarrow z_0} \frac{d}{dz} [(z - z_0)^2 f(z)]$): $q_{3,4} =$

$\pm i\beta_j$. Тогда:

$$\begin{aligned}
I_1 &= 2\pi i \frac{1}{2} \text{Res}[f(z), k + i\varepsilon] + 2\pi i \frac{1}{2} \text{Res}[f(z), i\beta_j] = (23) \\
&= \pi i \frac{(k + i\varepsilon)^2}{2(k + i\varepsilon)(\beta^2 + (k + i\varepsilon)^2)^2} + \pi i \lim_{z \rightarrow i\beta_j} \frac{d}{dq} \left(\frac{q^2}{(q^2 + i\beta_j)^2 (q^2 - k^2 - i\varepsilon)} \right) = \\
&= \pi i \frac{(k + i\varepsilon)^2}{2(k + i\varepsilon)(\beta^2 + (k + i\varepsilon)^2)^2} + 2\pi i \left(\frac{2i\beta}{-4\beta^2(-\beta^2 - k^2)} - \frac{(-\beta^2)2i\beta}{-4\beta^2(-\beta^2 - k^2)} - \right. \\
&\quad \left. - \frac{2(-\beta^2)}{-8i\beta^3(-\beta^2 - k^2)} \right) = \frac{\pi}{2} \left(\frac{ik + \beta_j}{(k^2 + \beta_j^2)^2} - \frac{1}{2\beta_j(k^2 + \beta_j^2)} \right) (24)
\end{aligned}$$

Тогда искомый интеграл:

$$\begin{aligned}
I &= \int d^3q \frac{g^2(q)}{q^2 - k^2 - i\varepsilon} = 4\pi \frac{\pi}{2} \sum_{i \neq j}^n \left\{ \frac{1}{(\beta_i^2 - \beta_j^2)} \left[\frac{\beta_j}{(\beta_j^2 + k^2)} - \frac{\beta_i}{(\beta_i^2 + k^2)} \right] + \right. \\
&\quad \left. + \frac{ik}{(\beta_j^2 + k^2)(\beta_i^2 + k^2)} \right\} C_i C_j + 4\pi \frac{\pi}{2} \sum_{j=1}^n \left\{ \left(\frac{ik + \beta_j}{(k^2 + \beta_j^2)^2} - \frac{1}{2\beta_j(k^2 + \beta_j^2)} \right) \right\} C_j^2 (25)
\end{aligned}$$